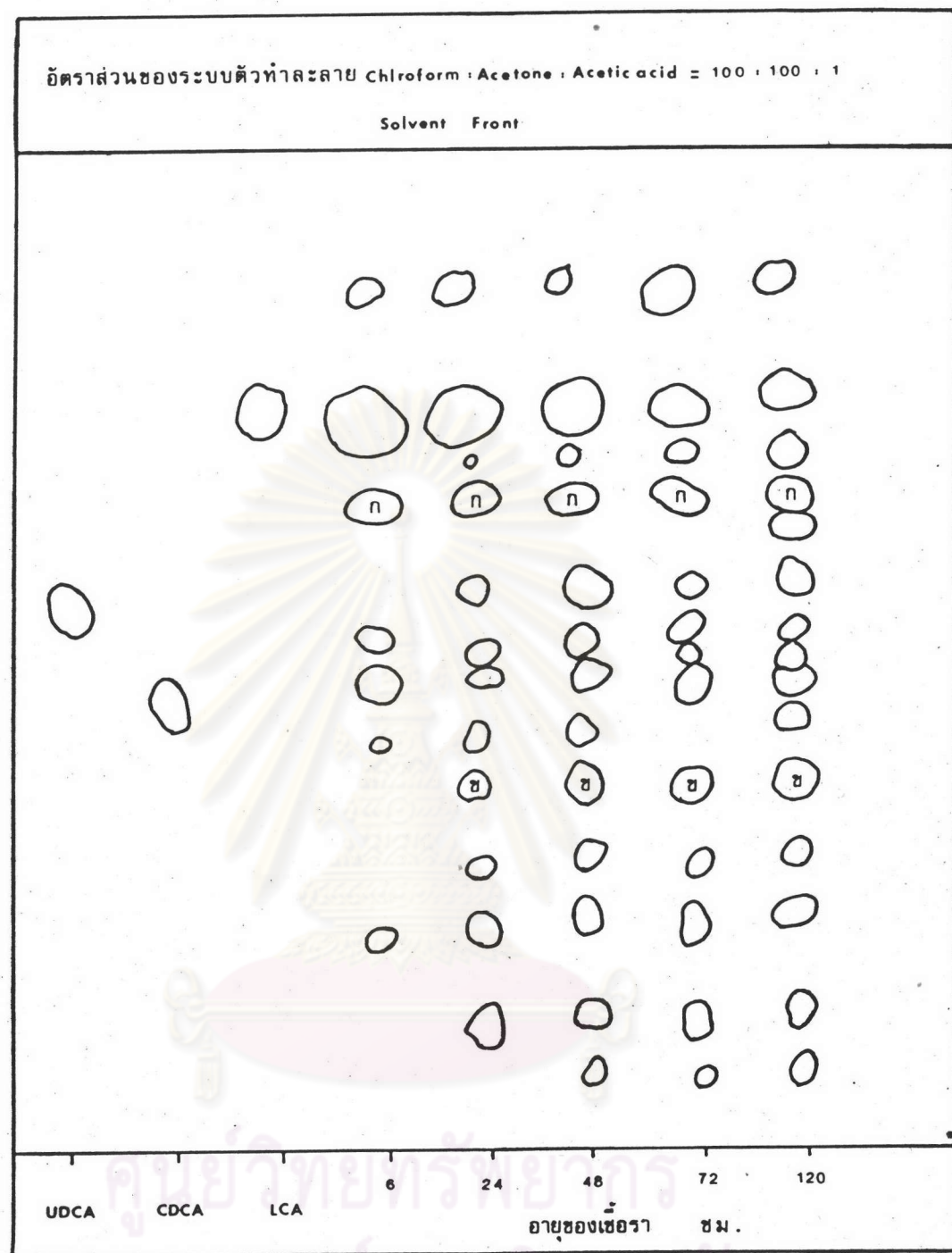


### บทที่ 3

#### ผลการวิจัย

##### 3.1 การตรวจและเลือกอนุพันธ์กรดลิโหโคลิกที่เปลี่ยนรูปจากการดัดลิโหโคลิกโดยเชื้อราสายพันธุ์ Absidia sp. BA16

จากการเลี้ยงเชื้อราสายพันธุ์ Absidia sp. BA16 ตามวิธีที่กล่าวในข้อ 2.8 ตรวจหาอนุพันธ์กรดลิโหโคลิกเมื่อเชื้อรามีอายุ 6 24 48 72 และ 120 ชั่วโมง โดยวิธีเคมาราไฟแบบผิวน้ำ ผลการทดลอง ดังแสดงในรูปที่ 13 และตารางที่ 3 พบว่า สามารถตรวจพบอนุพันธ์กรดลิโหโคลิกในอาหารเลี้ยงเชื้อราเป็นเวลา 6 ชั่วโมง โดยบนแผ่นเคมาราไฟแกรมจะปรากฏจุดสีเขียวซึ่งมีค่าการเคลื่อนที่สัมพัทธ์สูงกว่ากรดน้ำดีมาตรฐานที่ใช้คือ กรดอูซีดีออกซิโคลิกและกรดคีโนดีออกซิโคลิก (กรดน้ำดีมาตรฐานห้องสามจะปรากฏเป็นจุดสีเขียว ภายหลังจากฉีดพ่นด้วยกรดชัลฟูริค 10 เปอร์เซนต์และอบที่อุณหภูมิ 80 องศาเซลเซียสนาน 20 นาที) ตามแน่งของอนุพันธ์กรดลิโหโคลิกนี้ คือ จุด ก. ในรูปที่ 13 นอกจากนี้ยังพบผลิตภัณฑ์ที่ได้จากการเพาะ เลี้ยงเพิ่มขึ้นอีกหลายชนิด และยังพบผลิตภัณฑ์ที่มีจุดสีเขียวคล้ายกับกรดน้ำดีมาตรฐานห้องสาม (จุด ข. ในรูปที่ 13) แต่มีค่าการเคลื่อนที่สัมพัทธ์ต่ำกว่าซึ่งคาดว่าอาจจะเป็นอนุพันธ์กรดลิโหโคลิกอีกชนิดหนึ่ง นอกจากนี้ยังได้พบว่า เมื่อเพิ่มเวลาของการเพาะ เลี้ยง เชื้อราจนถึงชั่วโมงที่ 72 อนุพันธ์กรดลิโหโคลิกที่จุด ก. จะมีปริมาณเพิ่มขึ้นและจะเริ่มลดลง เมื่อเชื้อรามีอายุมากกว่า 72 ชั่วโมง ในท่านองกลับกันอนุพันธ์กรดลิโหโคลิกที่จุด ข. จะมีปริมาณเพิ่มขึ้น เมื่อเชื้อรามีอายุมากขึ้น อย่างไรก็ตามความเข้มของสีที่จุด ก. จะยังคงเข้มกว่าจุด ข. ดังนั้นอนุพันธ์กรดลิโหโคลิกที่จุด ก. เป็นอนุพันธ์หลักที่ได้จากการเปลี่ยนรูปกรดลิโหโคลิก โดยเชื้อรา Absidia sp. BA16 การศึกษาต่อไปจะได้มุ่งศึกษาอนุพันธ์หลักนี้



รูปที่ 13 เปรียบเทียบโครงสร้างของผลิตภัณฑ์ที่ผลิตโดยเชื้อรา

Absidia sp. BA16 ในช่วงเวลาต่าง ๆ (6-120 ชม.)

กับกรดน้ำดีมาตรฐาน กรดอูซีดีออกซีโคลิก กรดคีโนดีออกซีโคลิก  
และกรดลิวโคโลลิก โดยวิธีโครงสร้างทางเคมีแบบผิวนาง  
ก. และ ข. เป็นอนุพันธ์ที่มีสีเขียวคล้ำสีของ UDCA และ CDCA

ตารางที่ 3 ความเข้มสีของกรดลิโทโคคลิกและอนุพันธ์กรดลิโทโคคลิกซึ่งได้จากการเปลี่ยนรูปของกรดลิโทโคคลิกโดย Absidia sp. BA16 ที่เวลาต่าง ๆ โดยการท่าให้เกิดสีตามวิธีข้อ 2.5 เทียบกับความเข้มสีของกรดน้ำดีมาตรฐาน\*

ระยะเวลาที่เลี้ยงเชื้อ (ชั่วโมง)	ชนิดของกรดน้ำดี		
	กรดลิโทโคคลิก	อนุพันธ์กรดลิโทโคคลิก	
		จุด ก.	จุด ช.
6	+ 6	+ 1	-
24	+ 5	+ 2	+ 1
48	+ 4	+ 3	+ 1
72	+ 3	+ 5	+ 2
120	+ 3	+ 4	+ 3

หมายเหตุ

\* กำหนดหน่วยความเข้มสีของกรดน้ำดีมาตรฐานให้มีความเข้มสูงสุดเท่ากับ +8

### 3.2 การศึกษาอุณหภูมิและระยะเวลาที่เหมาะสมในการผลิตอนุพันธ์กรดลิโทโคคลิกโดย Absidia sp. BA16 ในระดับขั้นตอน

การศึกษาการเปลี่ยนรูปอนุพันธ์กรดลิโทโคคลิกที่ผลิตโดยเชื้อรากายพันธุ์ Absidia sp. BA16 จะเป็นที่จะต้องหาสภาวะที่เหมาะสมในการเพาะเลี้ยงเชื้อรากเพื่อให้ผลิตอนุพันธ์กรดลิโทโคคลิกในปริมาณสูงและลดสารเจือปนอื่น ๆ ลง

ทางการสักด้วยและการทำให้บริสุทธิ์ง่ายขึ้น เนื่องจากวัตถุประส่งค์หลักในงานวิจัยนี้เน้นกระบวนการการทำผลิตภัณฑ์บริสุทธิ์และหาสูตรโครงสร้างของผลิตภัณฑ์ ดังนั้นการศึกษาสภาวะที่เหมาะสมในการเพาะเลี้ยงเชื้อในการทดลองนี้จึงเป็นการศึกษาพ่อสังเขปเท่านั้น

โดยเพาะเลี้ยงเชื้อราสายพันธุ์ Absidia sp. BA16 ตามวิธีในข้อ 2.9 ตราจานวนพันธุ์กรดลิโหคลิกโดยวิธีโคมไฟกราฟแบบผิวนางได้ผลดังแสดงในรูปที่ 14 และตารางที่ 4 ตามลักษณะ

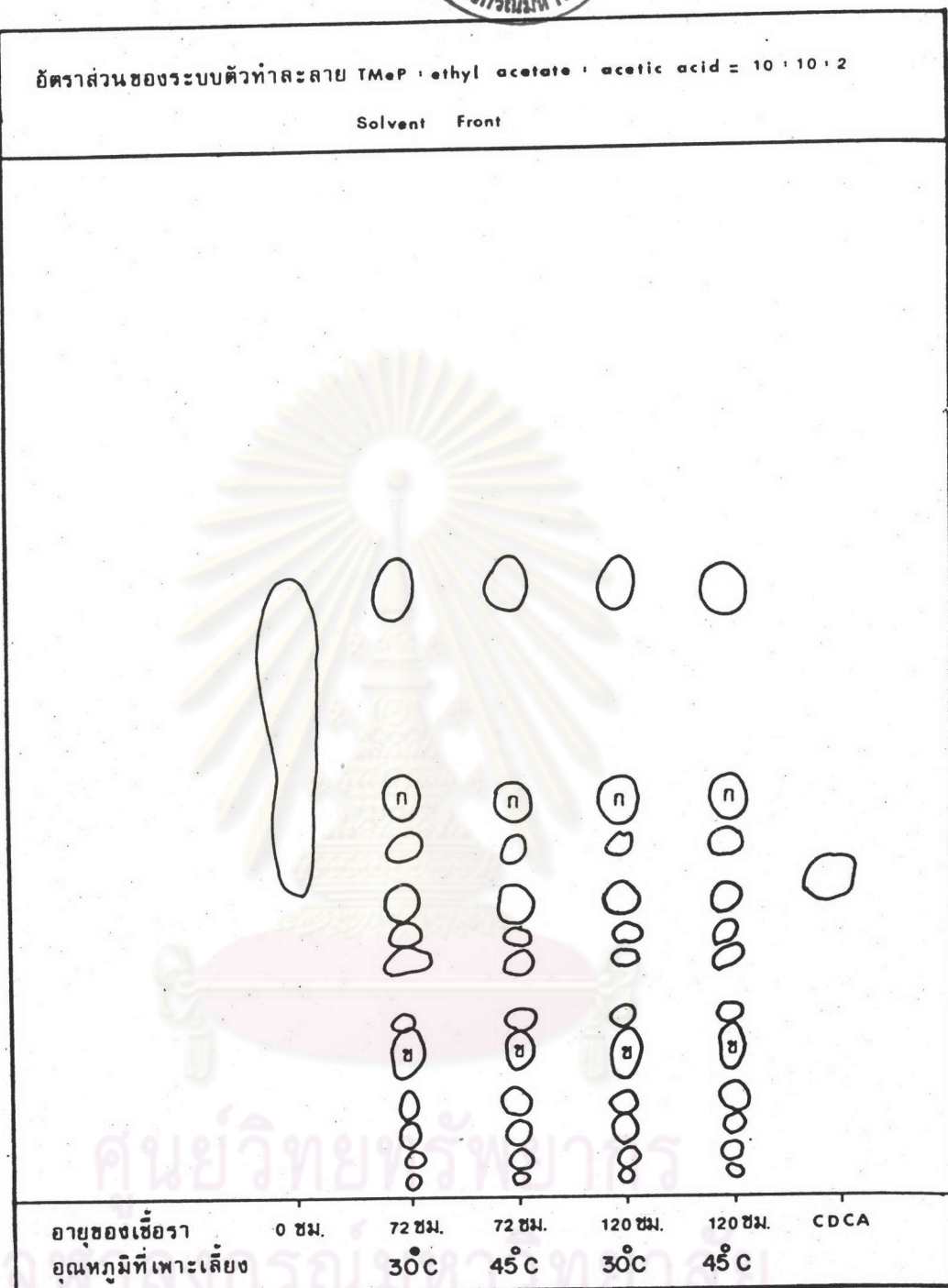
ในการทดลองนี้ได้เพาะเลี้ยงเชื้อราสายพันธุ์ Absidia sp. BA16 ที่อุณหภูมิ 45 และ 30 องศาเซลเซียส ทั้งนี้เพาะที่อุณหภูมิ 45 องศาเซลเซียสเป็นอุณหภูมิที่ใช้ในการเพาะเลี้ยงเชื้อราเมื่อทำการแยก (isolation) เชื้อรานี้โดยมีวัตถุประส่งค์เพื่อหาเชื้อจุลินทรีย์ที่สามารถเปลี่ยนกรดลิโหคลิกให้เป็นอนุพันธุ์กรดลิโหคลิกได้ที่อุณหภูมิสูง ส่วนอุณหภูมิ 30 องศาเซลเซียสเป็นอุณหภูมิที่ได้เคยมีรายงานการเพาะเลี้ยงเชื้อรา (11) ซึ่งสามารถเปลี่ยนกรดลิโหคลิกไปเป็นอนุพันธุ์กรดลิโหคลิกและเป็นอุณหภูมิปกติที่ใช้ในการเพาะเลี้ยงจุลินทรีย์ในอุตสาหกรรมทั่วไป

จากการเพาะเลี้ยงเชื้อราที่อุณหภูมิ 45 องศาเซลเซียส เป็นเวลา 72 ชั่วโมง จุด ก. ซึ่งเป็นอนุพันธุ์กรดลิโหคลิกที่สนใจมีความเข้มมากกว่าเมื่อเพาะเลี้ยงเชื้อราที่อุณหภูมิเดียวกันนั้นาน 120 ชั่วโมง และเมื่ออายุเชื้อราเพิ่มขึ้นพบว่า จุด ช. ซึ่งเป็นอนุพันธุ์กรดลิโหคลิกอีกชนิดหนึ่งมีความเข้มเพิ่มขึ้น การเพาะเลี้ยงเชื้อราที่อุณหภูมิ 30 องศาเซลเซียส นาน 72 ชั่วโมงและ 120 ชั่วโมง ให้ผลในท่านองเดียวกันกับการเพาะเลี้ยงที่อุณหภูมิ 45 องศาเซลเซียส เมื่อเปรียบเทียบความเข้มของสีที่จุด ก. เมื่อเชื้อรามีอายุเท่ากันพบว่าการเพาะเลี้ยงที่อุณหภูมิ 30 องศาเซลเซียส จะให้ความเข้มของสีที่จุด ก. มากกว่าที่อุณหภูมิ 45 องศาเซลเซียส โดยที่เชื้อรามีอายุ 72 ชั่วโมงจะให้ความเข้มมากที่สุด ดังนั้นสภาวะที่เลือกใช้ในการเพาะเลี้ยงเชื้อราในอาหารสาหรับผลิตเพื่อให้ผลิตอนุพันธุ์กรดลิโหคลิกที่เป็นอนุพันธุ์หลัก คือ เพาะเลี้ยงที่อุณหภูมิ 30 องศาเซลเซียสนาน 72 ชั่วโมง



อัตราส่วนของระบบตัวท้ากระดาษ  $\text{TMnP} : \text{ethyl acetate} : \text{acetic acid} = 10 : 10 : 2$

Solvent Front



รูปที่ 14 เปรียบเทียบความรวดเร็วการแยกแกรนของอนุพันธ์กรดลิ่วที่คลิกที่ผลิตโดยเชื้อรา Absidia sp. BA16 ที่อุณหภูมิ 30 และ 45 องศาเซลเซียสกับกรดน้ำดีมาตรฐาน คีโนดีออกซีไซคลิก โดยวิธีความเร็วกราฟแบบผิวนาง

ตารางที่ 4 เปรียบเทียบความเข้มสีของกรดลิโหนดิกและอนุพันธ์กรดลิโหนดิก  
เมื่อเลี้ยงเชื้อที่อุณหภูมิ 30 และ 45 องศาเซลเซียส และแยก  
ผลิตภัณฑ์ที่เกิดขึ้นโดยใช้คุณภาพกราฟแบบผิวน้ำ เทียบกับกรด  
คีโนดีออกซีโคลิก \*

อุณหภูมิ (°C)	ระยะเวลาที่เลี้ยงเชื้อ <sup>*</sup> (ชั่วโมง)	ชนิดของกรดน้ำดี		
		กรดลิโหนดิก	อนุพันธ์กรดลิโหนดิก	
			จุด ก.	จุด ช.
30	0	+ 7	-	-
	72	+ 3	+ 6	+ 2
	120	+ 3	+ 5	+ 3
45	72	+ 3	+ 5	+ 3
	120	+ 3	+ 4	+ 4

หมายเหตุ

\* กำหนดหน่วยความเข้มสีของกรดคีโนดีออกซีโคลิก เป็นความเข้มสูงสุดที่มีค่าเท่ากับ +8

### 3.3 การศึกษาสภาวะที่เหมาะสมสำหรับการตรวจวิเคราะห์ปริมาณกรดน้ำดี

#### โดยวิธีแกสโครามาโทกราฟ

จากการน้ำวิธีโครามาโทกราฟแบบผิวน้ำมาใช้ในการตรวจวิเคราะห์กรดน้ำดีตั้งกล่าวในข้อ 2.5 ผลตั้งแสดงในข้อ 3.1 และ 3.2 จะเห็นได้ว่าวิธี

โคมาราโตกราฟแบบผิวนางท่าได้ง่ายกว่าวิธีแกสโคโรมาโตกราฟ เนื่องจากไม่ต้องมีการเตรียมอนุพันธ์สำหรับการตรวจวิเคราะห์ แต่การตรวจวัดปริมาณกรดน้ำดีโดยตูจุกความเข้มของสีภายในหลังจากฉีดพ่นด้วยสารเคมีบางชนิดเป็นการตรวจปริมาณโดยการเปรียบเทียบสีเป็นค่าสัมพัทธ์ไม่สามารถตรวจวัดปริมาณที่มีอยู่จริงได้ การตรวจวัดปริมาณกรดน้ำดีที่มีอยู่จริงโดยวิธีโคมาราโตกราฟแบบแผ่นบางจะต้องทำการสกัดกรดน้ำดีออกจากตัวตูจุกก่อนแล้วจึงนำมาตรวจวัดปริมาณโดยวิธีอินต่อไป ซึ่งขั้นตอนจะยุ่งยากมากขึ้นและอาจสูญเสียกรดน้ำดีบางส่วนไปนอกจากนี้วิธีการโคอมาราโตกราฟแบบผิวนางมีความไวต่ำกว่าวิธีแกสโคโรมาโตกราฟ จากเหตุผลดังกล่าว วิธีการตรวจวิเคราะห์ปริมาณกรดน้ำดีที่เหมาะสมคือวิธีแกสโคโรมาโตกราฟ

การตรวจวัดปริมาณกรดน้ำดีโดยวิธีแกสโคโรมาโตกราฟ จะมีประสิทธิภาพสูงสุดเมื่อทำการตรวจวัดในสภาวะที่เหมาะสม สภาวะที่สำคัญต่อการตรวจวัดคือ อุณหภูมิของการฉีดตัวอย่าง (injection temperature) อุณหภูมิของคอลัมน์ (column temperature) อัตราการไหลของแกสตัวพา (flow rate of carrier gas) ชนิดของคอลัมน์ ชนิดของแกสตัวพา เป็นต้น

ในการศึกษานี้มุ่งหาสภาวะที่เหมาะสมบางสภาวะ คือ อุณหภูมิของคอลัมน์และอัตราการไหลของแกสในต่อเรื่องเชิงใช้เป็นแกสตัวพา ส่วนสภาวะอื่นๆ ได้จากรายงานที่ได้เคยมีการใช้เครื่องแกสโคโรมาโตกราฟชนิดเดียวกันนี้(11) และเป็นสภาวะที่ไม่ทำให้เกิดความแตกต่าง เมื่อใช้เครื่องมือต่างชุดกัน เช่น อุณหภูมิของการฉีดตัวอย่าง เป็นอุณหภูมิที่ใช้ในการทำให้สารกล้ายเป็นไอซิ่ง จะต้องเป็นอุณหภูมิที่ไม่สูงจนเกิดการทำลายตัวอย่าง หรือต่ำจนไม่สามารถทำให้สารกล้ายเป็นไอ เป็นต้น

นำเสนอสกัดของผลิตภัณฑ์ที่ได้จากการเพาะเลี้ยงเชื้อรา Absidia sp. BA16 มาเตรียมให้อยู่ในรูปของอนุพันธ์ตามวิธีที่กล่าวถึงในข้อ 2.7 หลังจากนั้นศึกษาสภาวะที่เหมาะสมของการตรวจวัดโดยวิธีแกสโคโรมาโตกราฟได้ผลดังแสดงในตารางที่ 5, 6, 7, และ กราฟรูปที่ 1

จากตารางที่ 5, 6, และ 7 จะเห็นได้ว่าที่อุณหภูมิคอลัมน์ค่าหนึ่ง ๆ

ระยะเวลาที่พิเศษของกรดน้ำดีปรากฏเรียงจากน้อยไปมากดังนี้คือ กรดลิโหคลิก กรดดีออกซีโคลิก และอนุพันธ์กรดลิโหคลิก และเมื่อความดันของแกสไนโตรเจนเพิ่มขึ้น ค่าเวลาที่อยู่ใน colloidal หรือค่าเวลาที่พิเศษของกรดน้ำดีปรากฏจะลดลง ในท่านองเดียวกันกับเมื่อเพิ่มอุณหภูมิของ colloidal และให้ความดันของแกสไนโตรเจนคงที่ สภาวะทั้งสองนี้จะมีผลต่อการแยกของพิเศษของกรดน้ำดีเนื่องจากสภาวะในการตรวจหาที่เหมาะสมสำหรับวิธีแกสโครามาโทกราฟี คือ สภาวะที่พิเศษของกรดน้ำดีที่ปรากฏมีการแยกออกจากกันและลักษณะของพิเศษต้องสมมาตร (symmetry) โดยพิจารณาจากค่าความสามารถในการแยกของพิเศษ (resolution) นอกจากนี้จะต้องคานึงถึงระยะเวลาที่ใช้ในการตรวจวัดซึ่งจะช่วยประหยัดค่าใช้จ่ายในการตรวจวัด จากค่าความสามารถในการแยกในตารางดังกล่าว การตรวจวัดโดยใช้อุณหภูมิของ colloidal 210 องศาเซลเซียส อัตราการไหลของแกสไนโตรเจนแนด้วยความดันของแกสไนโตรเจน

1.2 กิโลกรัมต่อตารางเซนติเมตร มีความสามารถในการแยกของพิเศษสูงสุด แต่ เมื่อจากสภาวะนี้ใช้เวลาในการตรวจวัดนานกว่าสภาวะอื่น ๆ นอกจากนี้ค่าความสามารถในการแยก เมื่อทำการตรวจวัดโดยใช้อุณหภูมิของ colloidal 220 องศาเซลเซียส และ ความดันของแกสไนโตรเจนต่าง ๆ ให้ค่าใกล้เคียงกับ เมื่ออุณหภูมิของ colloidal เป็น 210 องศาเซลเซียส แต่ใช้เวลาในการตรวจวัดน้อยกว่า สำหรับการตรวจวัดโดยใช้อุณหภูมิ colloidal เป็น 230 องศาเซลเซียส ให้ค่าความสามารถในการแยกของพิเศษต่ำสุด จากเหตุผลดังกล่าวจึงได้มุ่งความสนใจศึกษาความดันของแกสไนโตรเจนที่อุณหภูมิ colloidal 220 องศาเซลเซียส โดยที่อัตราการไหลของแกสตัวพาที่เหมาะสมคือ อัตราการไหลที่หาได้ค่าเฉลี่ยพิเศษ ( $42'$ ) จากกราฟความสัมพันธ์ระหว่าง เอชอีพีและความดันของแกสไนโตรเจนดังกราฟที่ 1. ความดันของแกสไนโตรเจน 1.0 กิโลกรัมต่อตารางเซนติเมตร จะเป็นความดันที่เหมาะสม

ดังนั้นสภาวะที่เหมาะสมสำหรับการตรวจวิเคราะห์กรดน้ำดี โดยเครื่องแกสโครามาโทกราฟี คือ อุณหภูมิของการฉีดตัวอย่างเท่ากับ 240 องศาเซลเซียส อุณหภูมิของ colloidal 220 องศาเซลเซียส ความดันของแกสไนโตรเจนเท่ากับ 1.0 กิโลกรัมต่อตารางเซนติเมตร ความดันของ

แก๊สไนโตรเจนและอากาศที่ใช้ในเครื่องตรวจวัดชนิดเพลมไอออกไซเดชัน เท่ากับ 1.0 กิโลกรัมต่ำตารางเซนติเมตร

ตารางที่ 5 ค่าเออซีทีพีและค่าความสามารถในการแยก เมื่ออุณหภูมิของคอลัมน์เป็น 210 องศาเซลเซียส

ความดันของ แก๊สไนโตรเจน (กก./ซม. <sup>2</sup> )	เวลาที่อยู่ในคอลัมน์ (retention time)			HETP	R
	LCA (นาที)	DCA (นาที)	P (นาที)		
1.2	6.41	10.75	14.55	0.190	1.53

ตารางที่ 6 ค่าเออซีทีพีและค่าความสามารถในการแยกเมื่ออุณหภูมิของคอลัมน์เป็น 220 องศาเซลเซียส

ความดันของ แก๊สไนโตรเจน (กก./ซม. <sup>2</sup> )	เวลาที่อยู่ในคอลัมน์ (retention time)			HETP	R
	LCA (นาที)	DCA (นาที)	P (นาที)		
1.2	3.70	6.00	7.80	0.180	1.43
1.0	4.60	7.40	9.60	0.170	1.30
0.8	5.40	8.80	11.30	0.196	1.34

ตารางที่ 7 ค่าเออชีพีและค่าความสามารถในการแยกเมื่ออุณหภูมิของ  
คอลัมน์เป็น 230 องศาเซลเซียส

ความดันของ แกสในต่อเจน (กก./ซม. <sup>2</sup> )	เวลาที่อยู่ในคอลัมน์ (retention time)			HETP	R
	LCA (นาที)	DCA (นาที)	P (นาที)		
1.2	2.60	4.20	5.20	0.420	0.79
1.0	3.10	4.90	6.30	0.350	0.92
0.8	3.80	5.90	7.50	0.280	0.82
0.6	5.10	8.00	10.20	0.240	0.90

#### หมายเหตุ

\* ความดันของแกสในต่อเจนแทนอัตราการไหลของแกสในต่อเจน

LCA = กรณีห้องลิก

DCA = กรณีห้องซีคลิก

P = อนุพันธ์กรณีห้องลิก

HETP = height equivalent theoretical plate =  $\frac{L}{16(x/y)^2}$

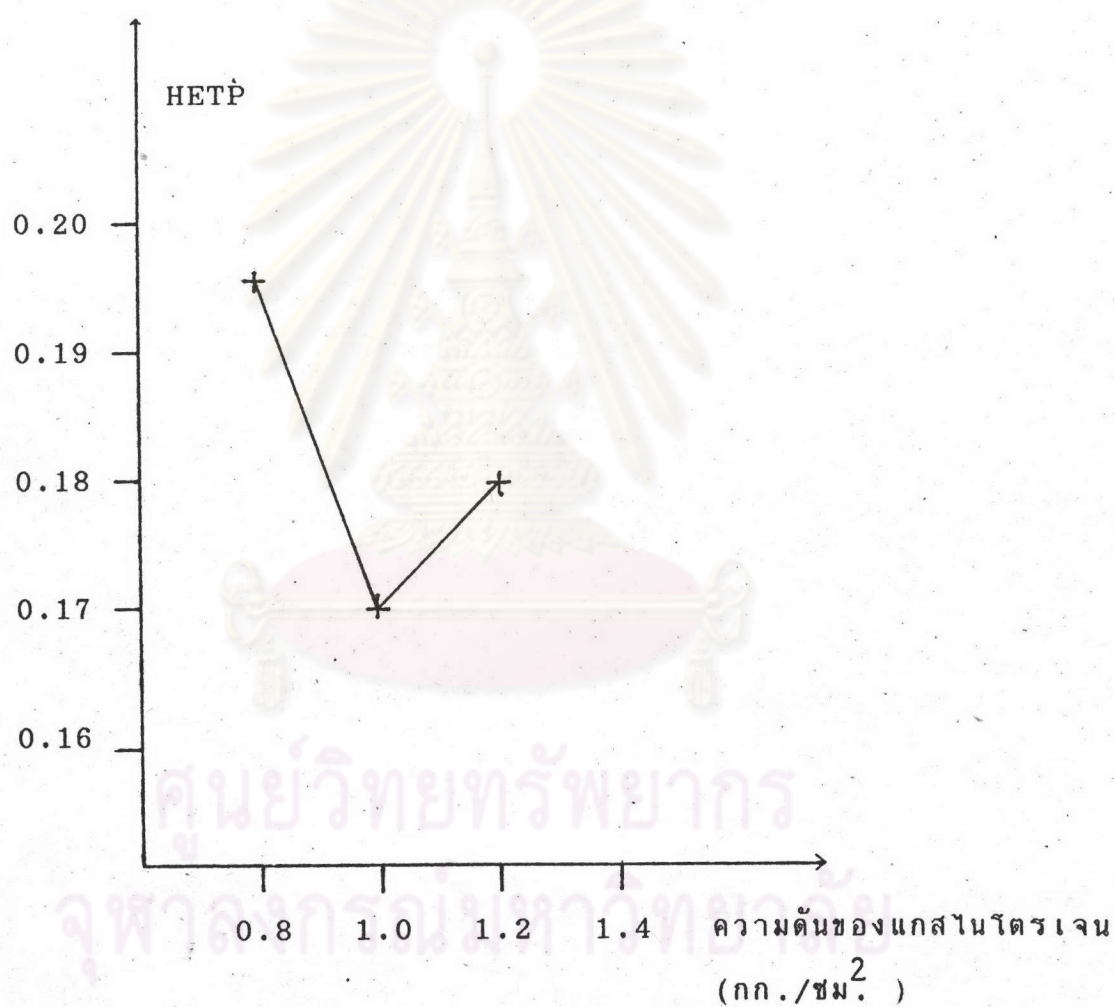
R = ความสามารถในการแยกผลิตภัณฑ์ที่อยู่ใกล้กัน ในงาน

วิจัยนี้จะเป็นความสามารถในการแยกของพืคกรดีออกซี

ไซคลิกและอนุพันธ์กรณีห้องลิก =  $\frac{2d}{W_1 + Y}$

L = ความยาวของคอลัมน์ในเครื่องแกสโตรมาโทกราฟหน่วย  
เมตร ซม.

- $X$  = ระยะทางวัดจากพื้นของตัวท่าละลายจนถึงจุดยอดของพื้น  
 อันพันธ์กรดลิโธโคลิก  
 $Y$  = ความกว้างของฐานพื้นของอันพันธ์กรดลิโธโคลิก  
 $W_1$  = ความกว้างของฐานพื้นกรดดีออกซีโคลิก  
 $d$  = ระยะห่างระหว่างจุดยอดของพื้นกรดดีออกซีโคลิกและ  
 อันพันธ์กรดลิโธโคลิก



กราฟที่ 1 ความสัมพันธ์ระหว่างเอชอีทีพีและความดันของแกสในไตรเจน  
 ที่อุณหภูมิ 220 องศาเซลเซียส

### 3.4 การหาห้องน้ำพันธุกรรมลิทโคลิกบริสุทธิ์

#### 3.4.1 การเลือกระบบทัวทางลาย (solvent system) ที่เหมาะสม สมสารับใช้ในการแยกอนุพันธุกรรมลิทโคลิก

ในการหาห้องน้ำพันธุกรรมลิทโคลิกบริสุทธิ์ เลือกใช้วิธีchromatography แบบดูดซับ โดยมีชิลิกาเจลเป็นตัวดูดซับ และใช้ระบบตัวทางลายที่เหมาะสมสม เป็นตัวชี้สาร (eluent) ระบบตัวทางลายที่เหมาะสมสมเลือกโดยใช้วิธีchromatography แบบผิวน้ำ โดยเลือกจากระบบทัวทางลายที่สามารถแยกอนุพันธุกรรมลิทโคลิกออกจากสารเจือปนอื่น ๆ ซึ่งพิจารณาจากค่าความสามารถในการแยกของผลิตภัณฑ์ที่อยู่ใกล้กัน (resolution)

เพาะเลี้ยงเชื้อรา Absidia sp. BA16 และดำเนินการทดลองตามวิธี ในข้อ 2.10.1 ระยะทางที่กรดลิทโคลิกและอนุพันธุกรรมลิทโคลิกเคลื่อนที่บนแผ่นchromatography แบบผิวน้ำในระบบตัวทางลายต่าง ๆ และค่าความสามารถในการแยกของผลิตภัณฑ์ที่อยู่ใกล้กัน แสดงไว้ในตารางที่ 8

ศูนย์วิทยทรัพยากร  
จุฬาลงกรณ์มหาวิทยาลัย

ตารางที่ 8 ระยะทางการเคลื่อนที่ของกรดลิโทโคลิก อันพันธ์กรดลิโทโคลิก และความสามารถในการแยกของผลิตภัณฑ์ที่อยู่ใกล้กันบนแผ่นchromatogram เมื่อทำการแยกตามวิธีการทดลองข้อ 2.10.1

ระบบตัวthalalay	ระยะการเคลื่อนที่ (cm.)		ความสามารถในการแยกของผลิตภัณฑ์ที่อยู่ใกล้กัน
	กรดลิโทโคลิก	อันพันธ์กรดลิโทโคลิก	
Ia	0.70	0.55	0.010
Ib	0.65	0.49	0.011
Ic	0.73	0.54	0.012
Id	0.38	0.27	0.007
Ie	0.37	0.16	0.014
If	0.26	0.12	0.009
Ig	0.20	0.08	0.008
Ih	0.46	0.32	0.010
Ij	0.36	0.23	0.009
A	0.30	0.15	0.010
B	0.60	0.50	0.007
C	0.35	0.19	0.011
D	0.44	0.23	0.013
E	0.93	0.87	0.004

ความสามารถ = ผลต่างของระยะทางระหว่างกรดลิโทโคลิกและอันพันธ์กรดลิโทโคลิก  
 ในกระบวนการแยกของ ระยะทางที่ตัวthalalayเคลื่อนที่ในระบบตัวthalalayที่กำหนด  
ผลิตภัณฑ์ที่อยู่ใกล้กัน

เนื่องจากค่าความสามารถในการแยกของผลิตภัณฑ์ที่อยู่ใกล้กัน จะบ่งบอกความสามารถของระบบตัวthalalay ที่จะแยกอนุพันธ์กรดลิโหโคลิกออกจากกรดลิโหโคลิกซึ่งเป็นจุดที่ใช้เทียบเคียงบนแผ่นchromatogram ระบบตัวthalalay ที่ใช้ในการศึกษาส่วนใหญ่ที่ค่าความสามารถในการแยกผลิตภัณฑ์ประมาณ 0.01 ยกเว้นระบบตัวthalalay Ic E และ B มีความสามารถในการแยกต่ำกว่า 0.01 ระบบตัวthalalay ที่มีค่าความสามารถในการแยกของผลิตภัณฑ์สูงกว่า 0.01 นี้ 3 ระบบ คือ Ic Ie และ D ระบบตัวthalalay D ประกอบด้วยตัวthalalay อินทรีย์ที่ระเหยง่ายคือ ไดเอทธิลออกไซด์ การนำมาใช้เป็นระบบตัวthalalay สำหรับชีวาระบบมีบัญหา คือ เกิดฟองแก๊สดันให้ชิลิกาเจลที่บรรจุในคอลัมน์แยกออกจากกันเมื่อตั้งห้องไว้ จึงไม่เลือกรอบตัวthalalay นี้ สำหรับระบบตัวthalalay Ic และ Ie มีองค์ประกอบเหมือนกันต่างกันที่อัตราส่วนของกรดน้ำส้ม โดยรอบตัวthalalay Ic มีปริมาณกรดน้ำส้มมากกว่า ทำให้ผลิตภัณฑ์ที่แยกบนแผ่นchromatogram แบบผิวนาง เคลื่อนที่ได้ระยะทางมากกว่า ในระยะทางที่ตัวthalalay เคลื่อนที่เท่า ๆ กันกับระบบตัวthalalay Ie จึงเลือกรอบตัวthalalay Ic ในการชีวาระบบซึ่งจะทำให้ใช้ปริมาตรตัวthalalay น้อยกว่าและใช้เวลาสั้นกว่าเนื่องจากผลิตภัณฑ์เคลื่อนที่ในระบบนี้ได้เร็ว

#### 3.4.2 การหาอนุพันธ์กรดลิโหโคลิกบริสุทธิ์โดยวิธีคอลัมน์chromatograph

นำเสนอสกัดที่ได้จากการเพาะเลี้ยงเชื้อรา Absidia sp. BA16 ตามวิธีข้อ 2.3 และ 2.9 ปริมาณ 2.1 กรัม มาผ่านลงในคอลัมน์ที่บรรจุชิลิกาเจล (ขนาดของคอลัมน์ 2.5 เซนติเมตร x 70 เซนติเมตร) ซึ่งเตรียมไว้โดยวิธีในข้อ 2.10.2.1 ระบบตัวthalalay ที่ใช้ในการชีวาระบบ คือ ระบบตัวthalalay Ic เก็บสารละลายที่ออกจากการคอลัมน์ปริมาณหลอดละ 3 มิลลิลิตร ตรวจหาอนุพันธ์กรดลิโหโคลิกโดยวิธีchromatograph แบบผิวนาง (ตามวิธีข้อ 2.5) ทุกหลอด นาหลอดที่ตรวจพบอนุพันธ์กรดลิโหโคลิกมารวมกันแล้วตรวจวัดปริมาณและความบริสุทธิ์โดยวิธีแก๊สchromatograph ทราบว่ามีความบริสุทธิ์ 84 เปอร์เซนต์ และมีปริมาณกรดน้ำตัดเหลือ 51.9 เปอร์เซนต์ของสารตั้งต้น แต่ความบริสุทธิ์ดัง

กล่าวยังไม่เพียงพอที่จะนำมาตรวจสอบคุณสมบัติต่าง ๆ จึงหาให้บริสุทธิ์เพิ่มขึ้น โดยนำมาผ่านเครื่องอีกครั้ง ชี้สารในเครื่องล้มด้วยระบบตัวทำละลาย C ซึ่ง เป็นระบบตัวทำละลายที่พบว่าสามารถแยกกรดลิโไทคลิกออกจากอนุพันธ์กรดลิโไทคลิก และได้เดียมีรายงานการนำระบบตัวทำละลายนี้มาใช้ในการหาให้อนุพันธ์กรดลิโไทคลิกบริสุทธิ์ (11) อนุพันธ์กรดลิโไทคลิกที่ผ่านเครื่องล้มครั้งที่สอง พบว่ามี ความบริสุทธิ์เพิ่มขึ้นเป็น 92 เปอร์เซนต์และมีปริมาณสารเหลือ 21.6 เปอร์เซนต์

#### 3.4.3 การเพิ่มความบริสุทธิ์ของอนุพันธ์กรดลิโไทคลิกโดยการตกผลึก

นำอนุพันธ์กรดลิโไทคลิกที่ผ่านเครื่องล้มครั้งที่สองมาหาให้บริสุทธิ์มากขึ้นด้วย การตกผลึกในสารละลายเอทิลอลูซิเตท-เยกเซน ตามวิธีในข้อ 2.10.2.3 ได้ พลิกสีขาวที่มีความบริสุทธิ์ 97 เปอร์เซนต์ และมีปริมาณอนุพันธ์กรดลิโไทคลิก 17.6 เปอร์เซนต์ของปริมาณสารตั้งต้น เมื่อทำการตรวจวัดปริมาณด้วยเครื่อง แกสโครมาร์ตกราฟิคผลดังแสดงในรูปที่ 15 และตารางที่ 9

ศูนย์วิทยทรัพยากร  
จุฬาลงกรณ์มหาวิทยาลัย

รูปที่ 15 สtruปชั้นตอนการทางอนุพันธ์กรดลิโหโคลิกไหับริสุทธิ์

อนุพันธ์ของกรดลิโหโคลิกที่สกัดแยกจาก  
อาหารเลี้ยงเชื้อสาหรับผลิต



โครโนโตกราฟบันชิลิกาเจลซี -300  
โดยใช้ระบบตัวทำละลาย IC



โครโนโตกราฟบันชิลิกาเจลซี -300  
โดยใช้ระบบตัวทำละลาย C



ตกผลึกโดยเอธิลอลซีเตท-เยกเซน

ตารางที่ 9 ความบริสุทธิ์ของอนุพันธ์กรดลิโหโคลิกในชั้นตอนการทางไหับริสุทธิ์

ชั้นตอนในการทางไห อนุพันธ์กรดลิโหโคลิก บริสุทธิ์	น.น.สาร (กรัม)	ความบริสุทธิ์ของสาร (เบอร์เซนต์)	ปริมาณสาร (เบอร์เซนต์ ของสารตั้งต้น)
สารสกัดของกรดน้ำดี	2.10	44.1	100.0
หลังจากผ่านคอลัมน์ที่ 1	1.09	83.8	51.9
หลังจากผ่านคอลัมน์ที่ 2	0.52	92.0	21.6
หลังจากการตกผลึก	0.37	97.0	17.6

### 3.5 การตรวจสอบความบริสุทธิ์ของอนุพันธ์กรดลิโทโคเลิก

#### 3.5.1 วิธีการหาจุดหลอมเหลว

นำอนุพันธ์กรดลิโทโคเลิกที่บริสุทธิ์มาตรวจหาจุดหลอมเหลว ตามวิธีที่กล่าว  
ใน 2.11.1 พบว่าอนุพันธ์กรดลิโทโคเลิกมีจุดหลอมเหลวอยู่ในช่วงระหว่าง  
186-188 องศาเซลเซียส และมีค่าไกล์เคียงกับจุดหลอมเหลวของกรด 3  
แอลฟ่า 15 เบตา ไดไฮดรอกซี่ 5 เบตา โคเลานิค ( $3\alpha, 15\beta$ -dihydroxy- $5\beta$ -Cholanic acid, $3\alpha, 15\beta$ -DHC) ซึ่งได้มีผู้รายงานไว้(11) โดยกรดน้ำดีนี้จะมี  
ค่าจุดหลอมเหลวเท่ากับ 185.5-186.5 องศาเซลเซียส

การที่อนุพันธ์กรดลิโทโคเลิกมีจุดหลอมเหลวเป็นช่วงต่างกัน 2 องศา  
เซลเซียสแสดงว่าอนุพันธ์กรดลิโทโคเลิกยังมีสิ่งเจือปน

#### 3.5.2 วิธีchromatographyแบบผิวน้ำ

จากการตรวจโดยวิธีchromatographyแบบผิวน้ำตามวิธีในข้อ 2.11.2  
โดยใช้ระบบตัวพาลลารอย Ic พบว่าอนุพันธ์กรดลิโทโคเลิกที่บริสุทธิ์จะปรากฏจุด  
เพียง 1 จุด และเนื่องจากจุดหลอมเหลวของอนุพันธ์กรดลิโทโคเลิกมีค่าไกล์  
เคียงกับกรด  $3\alpha$ ,  $15\beta$ -DHC จึงได้ทำการศึกษาเบรเยบเทียบกรดน้ำดี  $3\alpha$ ,  
 $15\beta$ -DHC กับอนุพันธ์กรดลิโทโคเลิกโดยวิธีchromatographyแบบแผ่นบางในระบบ  
ตัวพาลลารอยกลุ่มเดียวกันที่ใช้ศึกษาระบบทัวพาลลารอยที่เหมาะสมสำหรับคลัมน์  
chromatography ซึ่งกล่าวไว้ในข้อ 2.10.1 ผลคือกรดน้ำดีทั้งสองชนิดมีค่าการ  
เคลื่อนที่สัมพัทธ์เท่ากันในระบบตัวพาลลารอยทุกระบบ

#### 3.5.3 วิธีแกสchromatography

โดยเตรียมอนุพันธ์เอสเตอร์ของกรดน้ำดีตามวิธีในข้อ 2.7.2 ตรวจหา  
ความบริสุทธิ์ตามวิธีแกสchromatographyตามวิธีใน 2.11.3 ในสภาวะที่เหมาะสม  
พบว่ามีพิคปรากฏ 2 พิค คือ พิคของอนุพันธ์กรดลิโทโคเลิก และพิคสิ่งเจือปน  
ค่าน้ำ份ความบริสุทธิ์ของอนุพันธ์กรดลิโทโคเลิกได้เท่ากับ 97 เปอร์เซนต์ และพบ  
ว่าตัวแทนของพิคของอนุพันธ์กรดลิโทโคเลิกตรงกับพิคของกรด  $3\alpha$ ,  $15\beta$ -DHC และ

ตรงกับพีคของกรดคีโนดีออกซีโคลิก ชั่งท่าให้ไม่สามารถใช้วิธีแกสโครมาได้  
กราฟในการบ่งบอกนิตของกรดน้ำดีได้

#### 3.5.4 วิธีไซเพอร์พอแม่นซ์ลิตวิดโครมาโทกราฟ

ตรวจสอบความบริสุทธิ์ของอนุพันธ์กรดลิโทโคลิก ตามวิธีในข้อ 2.11.4 พบว่า นอกเหนือจากพีคของ เมทธานอลชั่ง ใช้เป็นตัวชี้สารแล้วจะปราศจากพีคของอนุพันธ์กรดลิโทโคลิก 1 พีค โดยมีค่ารีเทนชันแพคเตอร์ 0.46 และไม่พบพีคสิ่งเจือปนอื่น ๆ แสดงว่า จากการตรวจสอบโดยวิธีนี้ผลิตภัณฑ์มีความบริสุทธิ์ 100 เปอร์เซนต์

เนื่องจากการตรวจด้วยวิธีแกสโครมาโทกราฟพบว่า อนุพันธ์กรดลิโทโคลิก กรด  $3\alpha, 15\beta$ -DHC และกรดคีโนดีออกซีโคลิก มีต่าแหน่งของพีคตรงกัน ชั่งท่าให้ไม่สามารถบ่งบอกนิตของกรดน้ำดีได้ ในการทดลองนี้จึงได้ทำการศึกษาวิเคราะห์กรดน้ำดีอื่น ๆ ควบคู่กับอนุพันธ์กรดลิโทโคลิกที่ตรวจหาความบริสุทธิ์ โดยเปรียบเทียบเวลาการอยู่ในคอลัมน์ (retention time) ของกรdn้ำดีแต่ละชนิดกับตัวชี้สาร (เมทธานอล-น้ำ) และแสดงค่าเป็นค่ารีเทนชันแพคเตอร์ (retention factor) ดังแสดงผลในตารางที่ 10 ซึ่งสามารถเรียงลำดับกรdn้ำดีที่ถูกแยกออกจากคอลัมน์โดยพิจารณาจากค่ารีเทนชันแพคเตอร์ ตามลำดับก่อนหลัง คือ กรดอูซีดีออกซีโคลิก อนุพันธ์กรดลิโทโคลิก สารผสมระหว่างกรด  $3\alpha, 15\beta$ -DHC และอนุพันธ์กรดลิโทโคลิก กรด  $3\alpha, 15\beta$ -DHC กรดคีโนดีออกซีโคลิก กรดดีออกซีโคลิก กรดลิโทโคลิก

จากการทดลองดังกล่าว พบว่า พีคของกรดคีโนดีออกซีโคลิกจะแตกต่างจากพีคของอนุพันธ์กรดลิโทโคลิก และกรด  $3\alpha, 15\beta$ -DHC นั่นคือ อนุพันธ์กรดลิโทโคลิกเป็นกรdn้ำดีต่างชนิดกับกรดคีโนดีออกซีโคลิก

ตารางที่ 10 เวลาที่กรดน้ำดีมานตรฐานและอนุพันธ์กรดลิโทโคคลิกอยู่ในคอลัมน์  
และค่ารีเทนชันแพคเตอร์ ในการตรวจวัดโดยวิธีไฮเพอร์  
ฟอแมนซ์ลิควิดクロมาโทกราฟี

กรดน้ำดี	เวลาที่อยู่ในคอลัมน์ (นาที)		รีเทนชันแพคเตอร์
	เมทธานอล	ผลิตภัณฑ์	
กรดอูซดีออกซีโคคลิก	2.78	4.00	0.44
กรดคีโนดีออกซีโคคลิก	2.78	5.71	1.05
กรดดีออกซีโคคลิก	2.77	6.14	1.22
กรดลิโทโคคลิก	2.78	7.75	1.79
กรด $3\alpha, 15\beta$ -DHC	2.76	4.08	0.48
อนุพันธ์กรดลิโทโคคลิก	2.86	4.19	0.46
สารสมระห่วงกรด $3\alpha, 15\beta$ -DHC และอนุพันธ์ ของกรดลิโทโคคลิก	2.78	4.08	0.47

$$\text{รีเทนชันแพคเตอร์} = \frac{t_r - t_o}{t_o}$$

$t_r$  = เวลาที่อยู่ในคอลัมน์ของผลิตภัณฑ์

$t_o$  = เวลาที่อยู่ในคอลัมน์ของเมทธานอล



จากการตรวจสอบความบริสุทธิ์โดยวิธีต่าง ๆ ในข้อ 2.11 ได้ผลดัง

แสดงใน 3.5 พนบว่า บางวิธีจะแสดงความบริสุทธิ์ของอนุพันธ์กรดลิโหโคลิก 100 เปอร์เซนต์ ได้แก่ วิธีโครมาโทกราฟแบบผิวน้ำ วิธีไนเพอร์ฟอเม็นซ์ ลิควิตโครมาโทกราฟวิธีทั้งสองนี้เป็นวิธีที่มีความไวต่ำ ดังนั้นหากมีสิ่งเจือปนในปริมาณไม่นักจะไม่สามารถตรวจพบได้ สำหรับวิธีการตรวจสอบหาจุดหลอมเหลวของอนุพันธ์กรดลิโหโคลิก และวิธีแกสโครมาโทกราฟ ตรวจพบสิ่งเจือปนในอนุพันธ์กรดลิโหโคลิก โดยที่วิธีการตรวจวัดโดยแกสโครมาโทกราฟมีความไวใน การตรวจวัดสูง ดังนั้นอาจกล่าวได้ว่า อนุพันธ์กรดลิโหโคลิกจะยังคงมีสิ่งเจือปนอื่น ความบริสุทธิ์ของอนุพันธ์กรดลิโหโคลิกเท่ากับ 97 เปอร์เซนต์ (โดยวิธี แกสโครมาโทกราฟ)

ในการตรวจสอบความบริสุทธิ์ของผลึก ยังได้พบว่า อนุพันธ์กรดลิโหโคลิกมีคุณสมบัติที่สำคัญบางประการ ซึ่งรวมดังแสดงในตารางที่ 11 ประกอบด้วย คุณสมบัติที่สำคัญ 3α, 15β-DHC ดังนั้นกรณีที่ห้องส่องอาจเป็นกรณีที่ ชนิดเดียวกัน ซึ่งจะต้องศึกษาด้วยโครงสร้างทางเคมี

ตารางที่ 11 คุณสมบัติที่สำคัญบางประการของอนุพันธ์กรดลิโหโคลิกและกรด 3α, 15β-DHC

วิธีการตรวจสอบ	อนุพันธ์กรด ลิโหโคลิก	กรด 3α, 15β-DHC
จุดหลอมเหลว (องศาเซลเซียส)	186-188	185.5-186.5
การเคลื่อนที่สัมพัทธ์บน TLC ระบบต่าง ๆ	มีค่าตรงกันใน 14 ระบบตัวthalalay	
ค่าเวลาการอยู่ใน columm ในแกสโครมาโทกราฟ	7.4 นาที	7.4 นาที
ค่ารีเทนชันแฟคเตอร์ใน HPLC	0.46	0.48

### 3.6 การศึกษาโครงสร้างทางเคมีของอนุพันธ์กรดลิโทโคลิก

ได้ทำการศึกษาโครงสร้างทางเคมีของอนุพันธ์กรดลิโทโคลิกด้วยวิธีต่าง ๆ ดังนี้

#### 3.6.1 การวิเคราะห์ธาตุองค์ประกอบในโนมเลกูล

ตรวจหาธาตุองค์ประกอบคือ คาร์บอน ไนโตรเจน ในโซเดียม และออกซิเจนตามวิธีที่กล่าวไว้ในข้อ 2.12.1 ผลแสดงในตารางที่ 12

ตารางที่ 12 ธาตุองค์ประกอบของอนุพันธ์กรดลิโทโคลิก

ธาตุองค์ประกอบ	ปริมาณ (เบอร์เซนต์)
คาร์บอน	73.30
ไนโตรเจน	10.34
ออกซิเจน	16.36

จากปริมาณของธาตุองค์ประกอบในตารางที่ 12 คำนวณหาสูตรโนมเลกูลอย่างง่ายของอนุพันธ์กรดลิโทโคลิกได้เป็น  $C_6H_{10}O$  และเมื่อเปรียบเทียบกับการตรวจหาธาตุองค์ประกอบของกรด  $3\alpha, 15\beta$ -DHC ซึ่งมีผู้รายงานไว้(11) ได้ผลใกล้เคียงกันโดยที่กรด  $3\alpha, 15\beta$ -DHC ประกอบด้วย ธาตุคาร์บอน 73.38 เปอร์เซนต์ ไนโตรเจน 10.30 เปอร์เซนต์ และออกซิเจน 16.32 เปอร์เซนต์ ซึ่งคำนวณหาสูตรโนมเลกูลอย่างง่ายเป็นอย่างเดียวกันกับอนุพันธ์กรดลิโทโคลิก

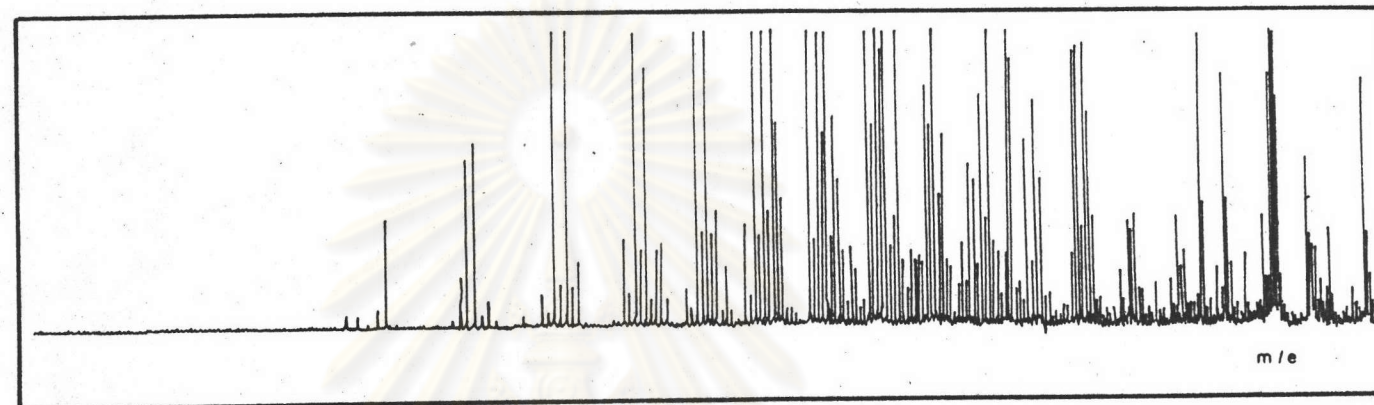
### 3.6.2 แมสสเปคไตรามิเตอร์

การวิเคราะห์ตามวิธีที่กล่าวไว้ข้างต้น ได้ผลดังรูปที่ 16 และ 17 พบว่ามีสเปคตัมคล้ายกันกับกรด  $3\alpha$ ,  $15\beta$ -DHC ทั้งพีคหลัก (parent peak) และพีคย่อย (fraction peak)

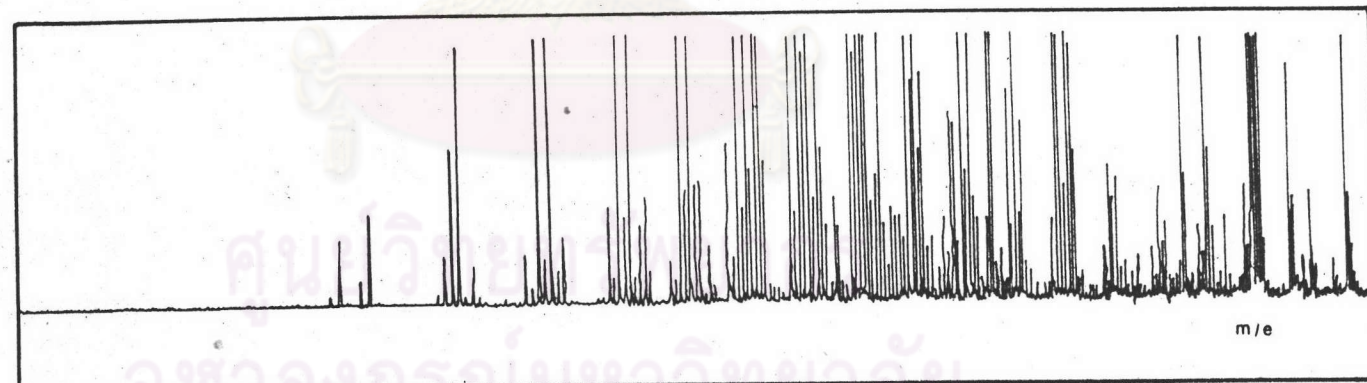
เนื่องจากได้มีการศึกษามาลัยเมเลกุลของกรด  $3\alpha$ ,  $15\beta$ -DHC โดยวิธี แมสสเปคไตรามิเตอร์ (11) พบว่ากรด  $3\alpha$ ,  $15\beta$ -DHC มีมวลไมเมเลกุล 392 ดังนั้น อนุพันธ์กรดลิโทาโคลิกจะมีมวลไมเมเลกุล 392 เช่นกัน หากสามารถเขียนสูตร ไมเมเลกุลของอนุพันธ์ของกรดลิโทาโคลิกได้เป็น  $C_{24}H_{40}O_4$  ซึ่งเหมือนกับสูตร ไมเมเลกุลของ  $3\alpha$ ,  $15\beta$ -DHC

เมื่อพิจารณาจากสารตั้งต้นคือ กรดลิโทาโคลิก ซึ่งมีสูตรไมเมเลกุลเป็น  $C_{24}H_{40}O_3$  เทียบกับสูตรไมเมเลกุลของอนุพันธ์กรดลิโทาโคลิก พบว่าอนุพันธ์กรด ลิโทาโคลิกอาจจะเป็นอนุพันธ์กรดลิโทาโคลิกที่มีหมู่ไอิดรอฟฟิล 2 หมู่

ศูนย์วิทยทรัพยากร  
จุฬาลงกรณ์มหาวิทยาลัย



รูปที่ 16 แมสสเปกตรัมของอุพันธุกรรมลิวโคลิกที่ผลิตโดยเชื้อรา Absidia sp. BA16



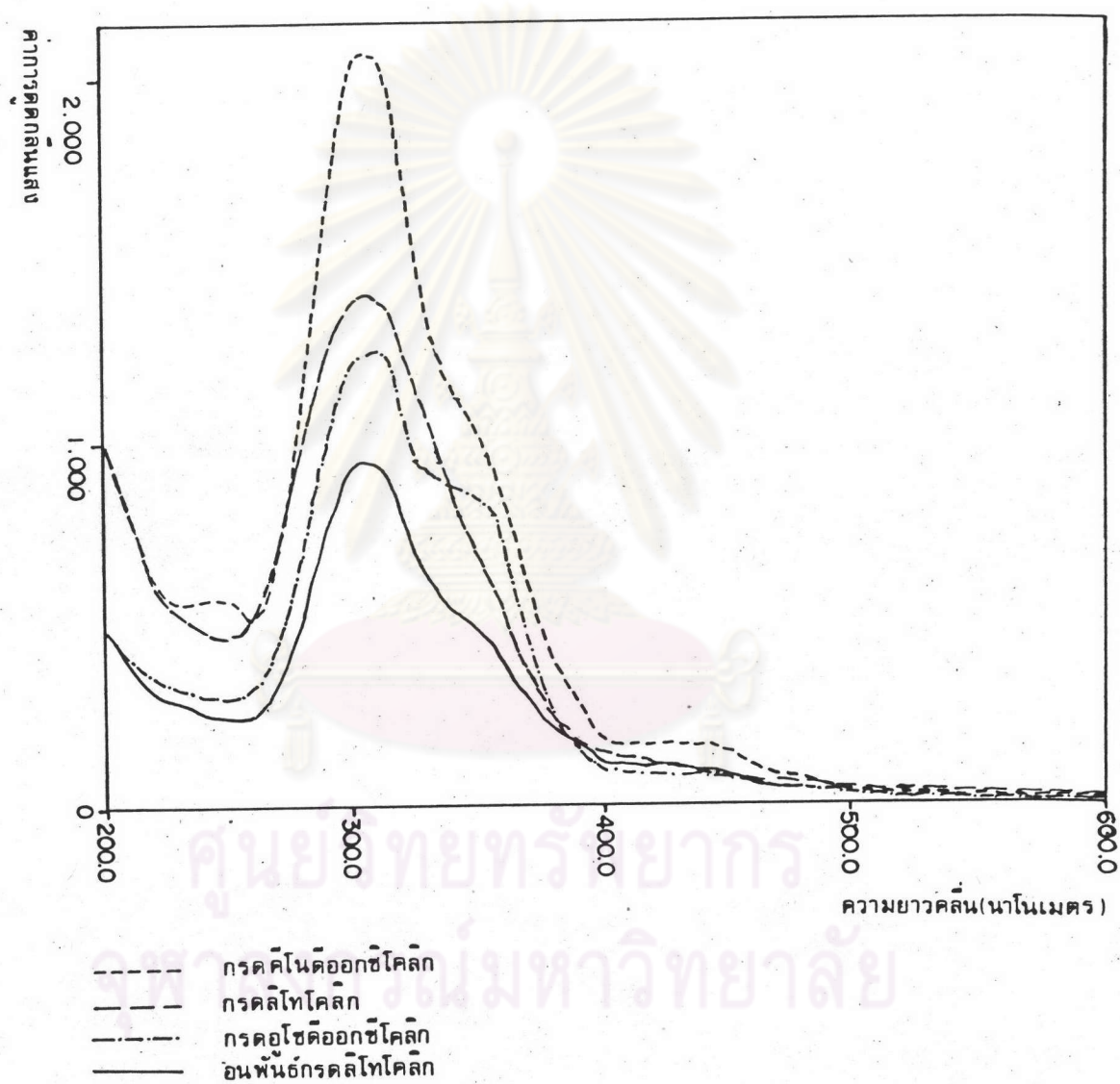
รูปที่ 17 แมสสเปกตรัมของกรด 3 $\alpha$ , 15 $\beta$ -DHC

### 3.6.3 อุลตราไวโอลेथ-วิสิเบิลสเปค troponin T

เตรียมกรดน้ำดีมาตรฐาน คือ กรดลิโทโคลิก กรดคีโนดีออกซีโคลิก และ กรดอูไซดีออกซีโคลิก อนุพันธ์กรดลิโทโคลิก ที่มีความเข้มข้น 100 นาโนกรัม ต่อมิลลิลิตร โดยใช้กรดชัลฟูริค เป็นตัวทำละลาย วัดการดูดกลืนแสงอุลตราไวโอล์ฟตามวิธีในข้อ 2.12.3 ผลตั้งรูปที่ 18 พบว่ากรดน้ำดีทึ้งหมดให้ค่าการดูดกลืนแสงสูงสุดที่ความยาวคลื่นในช่วง 300-310 นาโนเมตร จากรายงานการศึกษาการดูดกลืนแสงอุลตราไวโอล์ฟของกรดน้ำดีที่ละลายอยู่ในกรดชัลฟูริค เข้มข้น พบว่ากรดน้ำดีที่มีหน่วยไยดรอกซิล 1 หมู่ จะให้ค่าความยาวคลื่นที่กรดน้ำดีสามารถดูดกลืนแสงได้สูงสุดที่ 316 นาโนเมตร กรดน้ำดีที่มีหน่วยไยดรอกซิล 2 หมู่ จะให้ค่าความยาวคลื่นที่ 305-312 นาโนเมตร กรดน้ำดีที่มีหน่วยไยดรอกซิล 3 หมู่ จะมีค่าความยาวคลื่นที่ 389-390 นาโนเมตร (21)

ดังนั้นความยาวคลื่นของการดูดกลืนแสงได้สูงสุดสำหรับอนุพันธ์กรดลิโทโคลิกจะอยู่ในช่วงของกรดน้ำดีที่มีหน่วยไยดรอกซิล 1 หมู่ และ 2 หมู่ แต่จากลักษณะของสเปคตัมอนุพันธ์กรดลิโทโคลิกเทียบกับกรดลิโทโคลิก ซึ่งเป็นกรดน้ำดีที่มีหน่วยไยดรอกซิล 1 หมู่ และกรดอูไซดีออกซีโคลิก กรดคีโนดีออกซีโคลิก ซึ่งเป็นกรดน้ำดีที่มีหน่วยไยดรอกซิล 2 หมู่ จะเห็นว่าอนุพันธ์กรดลิโทโคลิกมีรูปสเปคตัมใกล้เคียงกับกรดน้ำดีที่มีหน่วยไยดรอกซิล 2 หมู่ คือ สเปคตัมจะปรากฏไหล่ (shoulder) ทางด้านความยาวคลื่นที่มีค่าสูง ดังนั้นอนุพันธ์กรดลิโทโคลิกอาจประกอบด้วยหน่วยไยดรอกซิล 2 หมู่

**ศูนย์วิทยพยากรณ์  
รุพานักรณ์มหาวิทยาลัย**



รูปที่ 18 การดูดกลืนแสงอุลตราไวโอเลตของกรดน้ำดีชนิดต่าง ๆ

### 3.6.4 อินพราเรดสเปกตรัมมิเตอร์

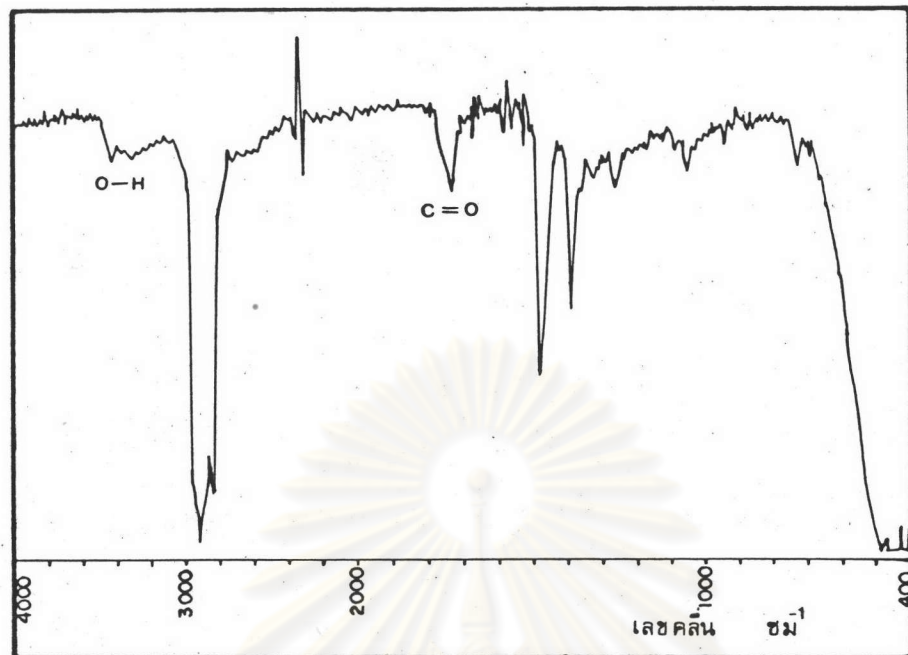
เตรียมอนุพันธ์กรดลิโซหโคลิกสำหรับตรวจหาหมู่พังชัน (functional group) ของสารตามวิธีในข้อ 2.12.4 สเปคตรัมให้พิคที่สำคัญ 2 พีค ซึ่งแสดงดังรูปที่ 19 เมื่อเปรียบเทียบกับสเปคตรัมของกรด  $3\alpha$ ,  $15\beta$ -DHC ซึ่งมีสเปคตรัมดังรูปที่ 20 ตามรายงานที่มีผู้ศึกษาไว้ (11) เปรียบเทียบตัวแทนนั่งของพิคอนุพันธ์กรดลิโซหโคลิกและกรด  $3\alpha$ ,  $15\beta$ -DHC ดังแสดงในตารางที่ 13

ตารางที่ 13 ตัวแทนนั่งของพิคที่สำคัญของกรด  $3\alpha$ ,  $15\beta$ -DHC และ อนุพันธ์กรดลิโซหโคลิก

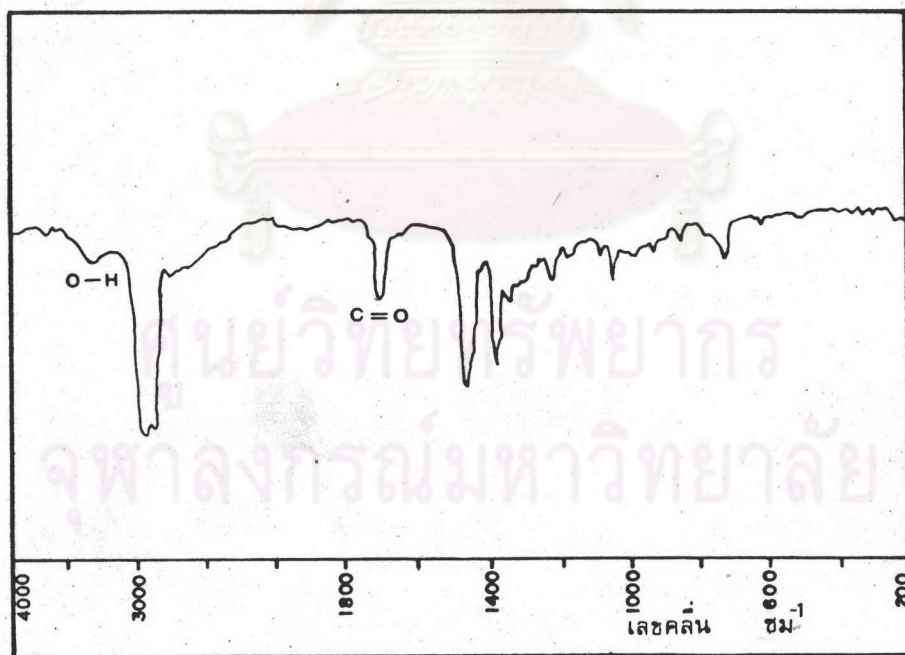
หมู่พังชัน	เลขคู่ (ชม. <sup>-1</sup> )	
	กรด $3\alpha$ , $15\beta$ -DHC	อนุพันธ์กรดลิโซหโคลิก
หมู่ไธโรมอกซิล	3280	3300
หมู่คาร์บอนิล ของกรดคาร์บอฟอกซิลิก	1700	1700

จากสเปคตรัมของกรดน้ำดีทั้งสองชิ้นบ่งบอกว่าในไมเลกุลของกรดน้ำดีทั้งสองประกอบด้วย หมู่คาร์บอนิล ( $C=O$ ) ของกรดคาร์บอฟอกซิลิกและหมู่ไธโรมอกซิล ( $O-H$ ) โดยมิได้บอกตัวแทน





รูปที่ 19 อินฟราเรดสเปกตรัมของอนุพันธ์กรดลิโทโคลิกที่ผลิตโดยเชื้อรา Absidia sp. BA16



รูปที่ 20 อินฟราเรดสเปกตรัมของกรด 3 $\alpha$ , 15 $\beta$ -DHC (11)

### 3.6.5 นิวเคลียร์แมกเนติกเรโซแนนซ์สเปคตรัมิเตอร์

เตรียมอนุพันธ์กรดลิจิทาโคลิกและกรด 3 $\alpha$ , 15 $\beta$ -DHC ตามวิธีในข้อ

2.12.5

#### 3.6.5.1 คาร์บอน -13 นิวเคลียร์แมกเนติกเรโซแนนซ์สเปค ทรัมิเตอร์

จากคาร์บอน -13 นิวเคลียร์แมกเนติกเรโซแนนซ์สเปคตั้มของอนุพันธ์กรดลิจิทาโคลิก (รูปที่ 21) สนับสนุนการมีหมู่ไயดรอกซิล 2 หมู่ และการมีคาร์บอน 24 อะตอม โดยสเปคตั้มปรากฏพิเศษของคาร์บอน 24 พีค แบ่งเป็น เมทธิลคาร์บอน (-CH<sub>3</sub>) 3 อะตอม เมทธิลสีนคาร์บอน (-CH<sub>2</sub>-) 10 อะตอม เทอร์เชียร์คาร์บอน (-CH) 8 อะตอม ซึ่งมีเทอร์เชียร์คาร์บอน 2 อะตอมที่มีหมู่ไยาดรอกซิลต่ออยู่ ดาวเทอนารีคาร์บอน (-C-) 3 อะตอม ซึ่งมี 1 อะตอมที่เป็นหมู่คาร์บออกซิล ตามแน่นของพีคเหล่านี้แสดงไว้ในตารางที่ 14

สเปคตั้มของกรด 3 $\alpha$ , 15 $\beta$ -DHC (ดังรูปที่ 22) ให้แบบแผนเหมือนกันกับอนุพันธ์กรดลิจิทาโคลิกเช่นกัน

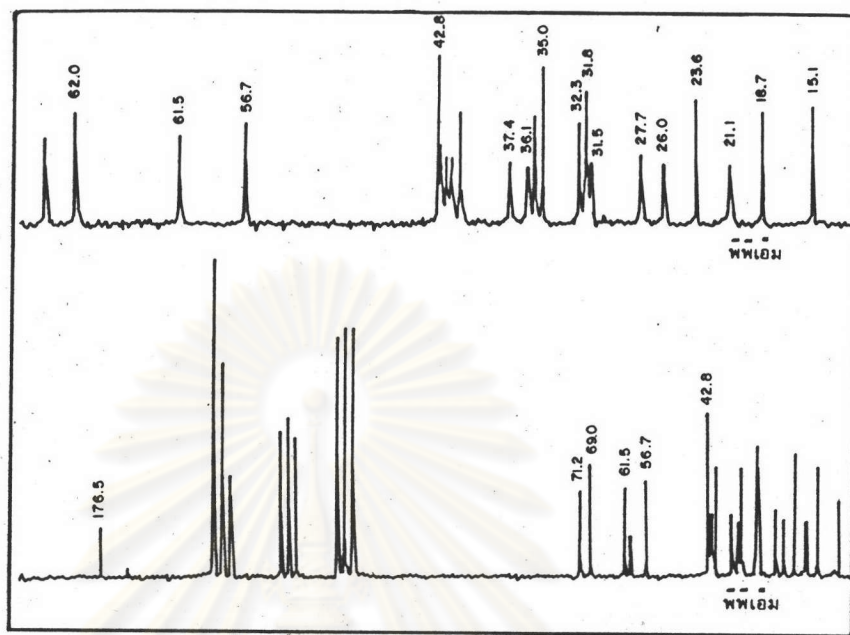
อนุพันธ์กรดลิจิทาโคลิกจึงเป็นอนุพันธ์ที่มีหมู่ไยาดรอกซิล 2 หมู่ และอาจเป็นกรด 3 $\alpha$ , 15 $\beta$ -DHC

ศูนย์วิทยทรัพยากร  
จุฬาลงกรณ์มหาวิทยาลัย

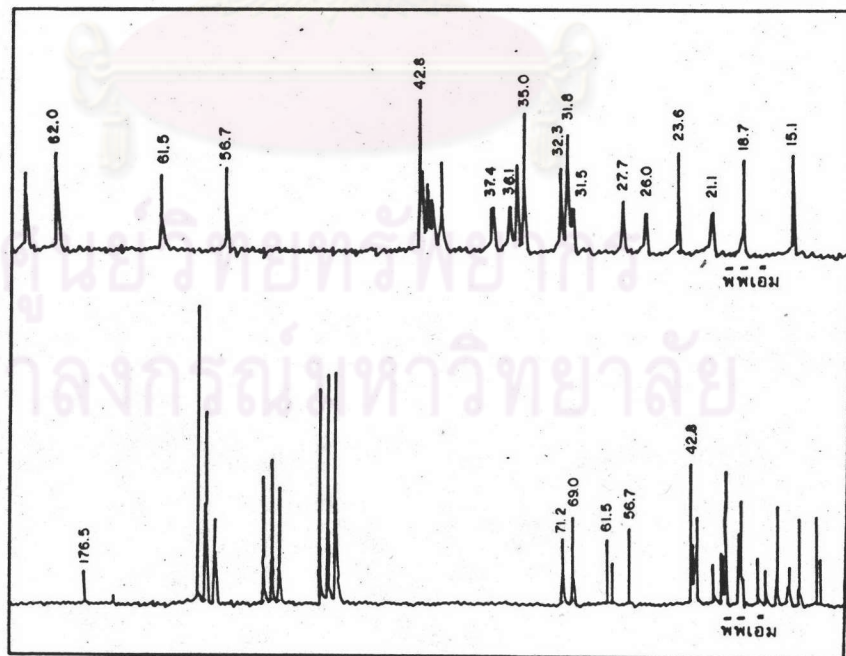
ตารางที่ 14 เคมิคัลชิฟท์ (Chemical shift) ของอนุพันธ์กรดลิโวโคลิก  
โดยวิธีคาร์บอน -13 นิวเคลียร์แมกเนติกเรโซแนนซ์

เคมิคัลชิฟท์ (พีพีเอ็ม)	ตัวแทนของคาร์บอน	เคมิคัลชิฟท์ (พีพีเอ็ม)	ตัวแทนของคาร์บอน
36.1	1 - CH <sub>2</sub>	42.8	13 - C
31.5	2 - CH <sub>2</sub>	61.5	14 - CH
71.2	3 - CHOH	69.0	15 - CHOH
37.4	4 - CH <sub>2</sub>	41.1	16 - CH <sub>2</sub>
42.8	5 - CH	56.7	17 - CH
27.7	6 - CH <sub>2</sub>	15.1	18 - CH <sub>3</sub>
26.0	7 - CH <sub>2</sub>	23.6	19 - CH <sub>3</sub>
32.3	8 - CH	35.6	20 - CH
41.8	9 - CH	18.7	21 - CH <sub>3</sub>
35.0	10 - C	31.8	22 - CH <sub>2</sub>
21.1	11 - CH <sub>2</sub>	31.8	23 - CH <sub>2</sub>
41.9	12 - CH <sub>2</sub>	176.5	24 - COOH

จุฬาลงกรณ์มหาวิทยาลัย



รูปที่ 21 คาร์บอน -13 นิวเคลียร์แมกเนติกเรโซแนนซ์ ของอนพนธ์  
กรดลิโหโคลิกที่ผลิตโดยเชื้อรา Absidia sp. BA16



รูปที่ 22 คาร์บอน -13 นิวเคลียร์แมกเนติกเรโซแนนซ์ของกรด  
3 $\alpha$ , 15 $\beta$ -DHC

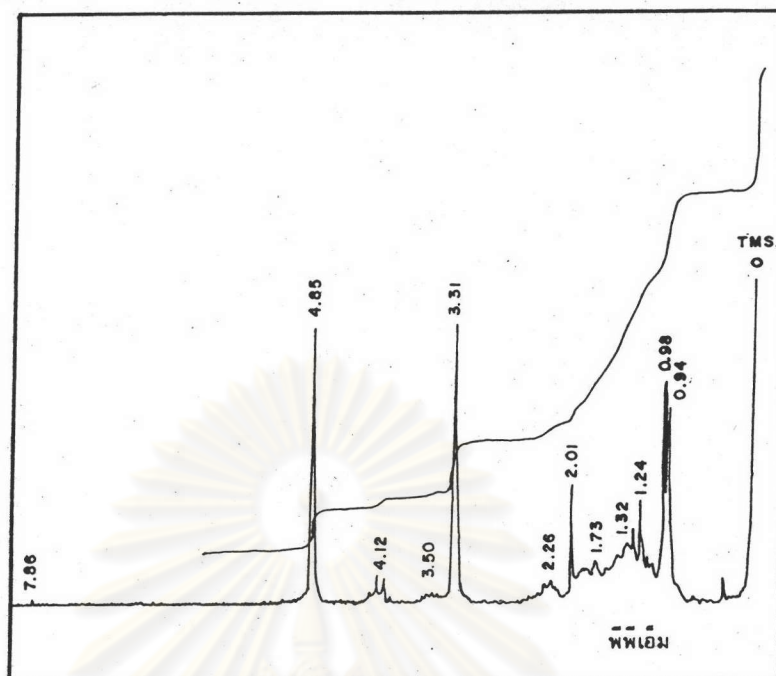
### 3.6.5.2 ไฮดราซีฟอร์มิก-acetone

สเปคตรัมของอนุพันธ์กรดลิโทโคลิกชั้นbrookดังรูปที่ 23 ปรากฏ  
พีคของไฮโดรเจนอะตอมที่เชื่อมอยู่กับคาร์บอนอะตอมชั้นมีหน่วยครอชิล เชื่อมอยู่  
ด้วย ( $\text{CH}_2\text{OH}$ ) 2 พีค คือที่ค่าเคมิคัลชิฟท์ 4.14 และ 3.50 พีพีเอ็ม เนื่องจาก  
ในสเปคตรัมของกรดลิโทโคลิกจะปรากฏพีคของไฮโดรเจนอะตอมที่เชื่อมอยู่กับ<sup>2</sup>  
คาร์บอนอะตอมคลาแนนจ์ที่ 3 ชั้นมีหน่วยครอชิล เชื่อมอยู่ด้วยและเป็น 3 เบต้า  
ไฮดราซีฟอร์มิก ( $3\beta\text{-CH}_2\text{OH}$ ) ดังนั้นพีคที่ 3.50 พีพีเอ็มจะเป็นพีคของ 3 เบต้า  
ไฮดราซีฟอร์มิก

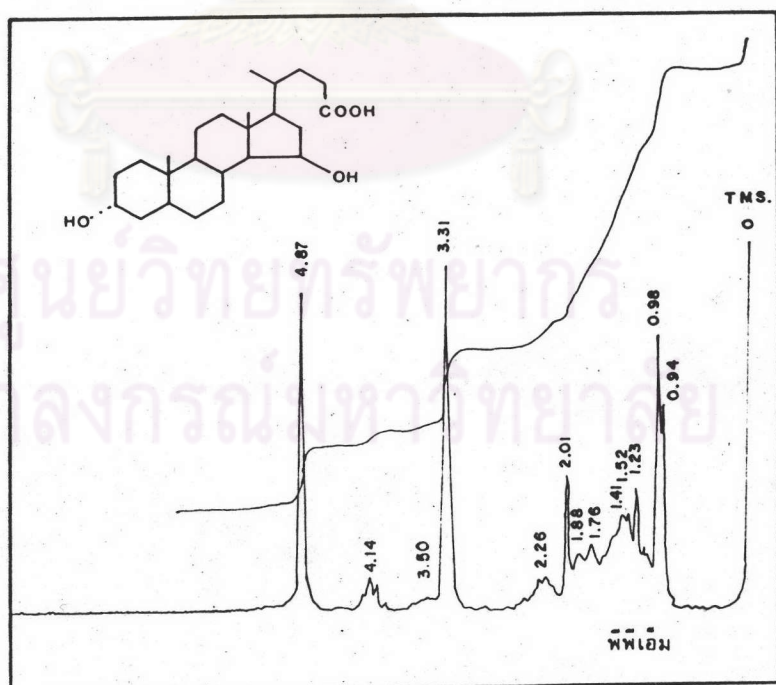
คลาแนนจ์ของพีคที่ 4.14 พีพีเอ็ม จะสามารถเป็นพีคของไฮโดรเจ  
นอะตอมที่เชื่อมอยู่กับคาร์บอนอะตอมชั้นมีหน่วยครอชิล เชื่อมอยู่ด้วย ( $\text{CH}_2\text{OH}$ )  
โดยคาร์บอนอะตอมอาจเป็นคลาแนนจ์ 14 15 หรือ 16

เนื่องจากสเปคตรัมของอนุพันธ์กรดลิโทโคลิกดังแสดงในรูปที่ 23  
จะเหมือนกับสเปคตรัมของกรด  $3\alpha$ ,  $15\beta\text{-DHC}$  (รูปที่ 24) ซึ่งแสดงว่า อนุพันธ์  
กรดลิโทโคลิกเป็นกรดน้ำตีชนิดเดียวกันกับกรด  $3\alpha$ ,  $15\beta\text{-DHC}$

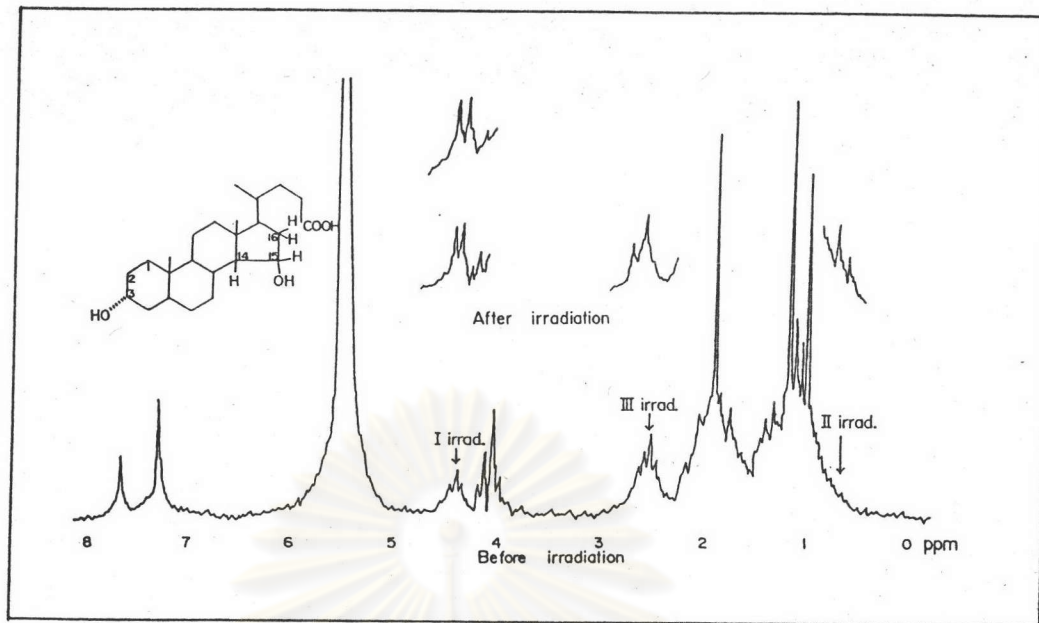
นอกจากนี้เมื่อศึกษาโดยวิธี ติคับบลิงไฮดราซีฟอร์มิก-acetone  
ดังแสดงในรูปที่ 25 เมื่อเพิ่มพลังงาน( irradiate) ที่คลาแนนจ์ I (4.4 พีพีเอ็ม)  
ซึ่งเป็นคลาแนนจ์ของไฮดราซีฟอร์มิก-acetone -15 ได้พบการเปลี่ยนแปลงที่คลาแนนจ์  
0.9 พีพีเอ็ม ซึ่งเป็นคลาแนนจ์ของไฮดราซีฟอร์มิก-acetone -14 และที่คลาแนนจ์ 2.6  
พีพีเอ็มซึ่งเป็นคลาแนนจ์ของไฮดราซีฟอร์มิก-acetone -16 เมื่อเพิ่มพลังงานที่คลาแนนจ์ II  
(0.9 พีพีเอ็ม) พบรการเปลี่ยนแปลงของพีคที่คลาแนนจ์ 4.4 พีพีเอ็ม ซึ่งเป็น  
คลาแนนจ์ของไฮดราซีฟอร์มิก-acetone -15 ในท่านองเดียวกันเมื่อเพิ่มพลังงานที่  
คลาแนนจ์ที่ III (2.6 พีพีเอ็ม) ซึ่งเป็นคลาแนนจ์ของไฮดราซีฟอร์มิก-acetone -16  
พบรการเปลี่ยนแปลงของพีคที่คลาแนนจ์ 4.4 พีพีเอ็ม ในท่านองเดียวกันพบรการ  
เปลี่ยนแปลงดังกล่าวสำหรับกรด  $3\alpha$ ,  $15\beta\text{-DHC}$  (รูปที่ 26) ดังนั้นอนุพันธ์  
กรดลิโทโคลิกจึงเป็นกรด  $3\alpha$ ,  $15\beta\text{-DHC}$



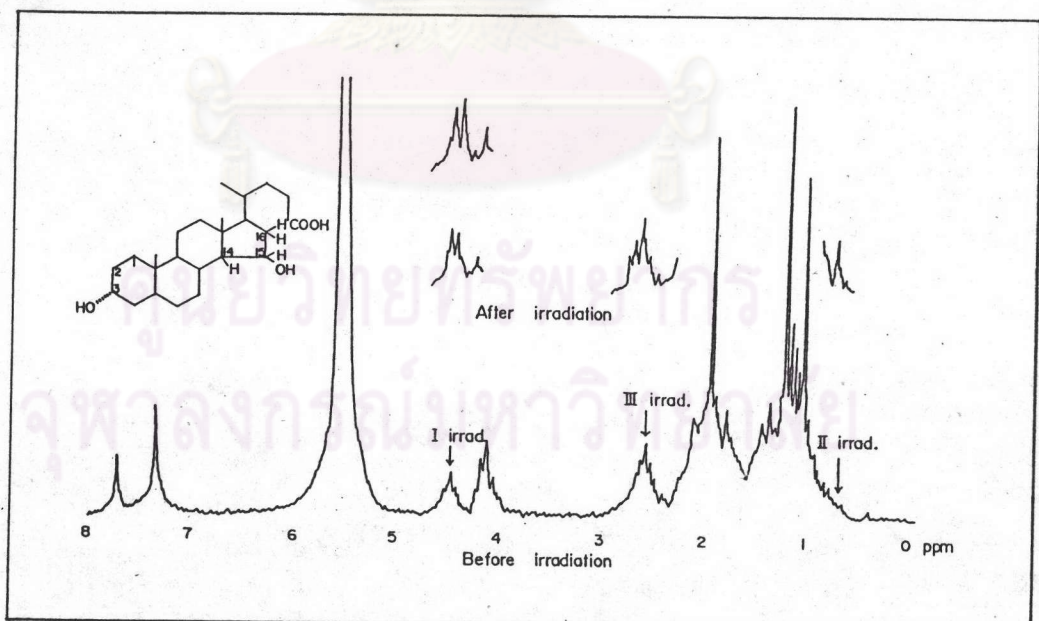
รูปที่ 23 โปรตอน นิวเคลียร์แมกเนติกเรโซแนนซ์ ของอนุพันธุ์กรดลิโคตอลิกที่ผลิตโดยเชื้อรา Absidia sp. BA16



รูปที่ 24 โปรตอน นิวเคลียร์แมกเนติกเรโซแนนซ์  $3\alpha$ ,  $15\beta$ -DHC



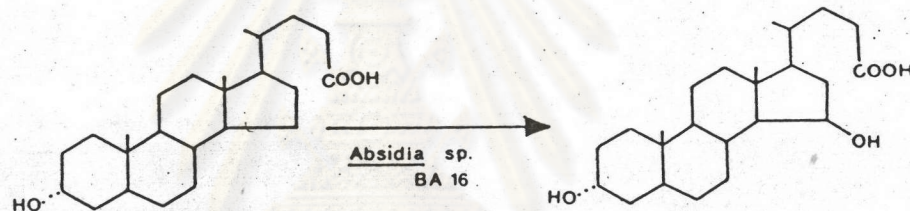
รูปที่ 25 ตีคับปลิ๊งไบรตอนนิวเคลียร์แมกเนติกเรโซแนซของอนุพันธ์  
กรดลิโหโคลิกโดยเชื้อรา Absidia sp. BA16



รูปที่ 26 ตีคับปลิ๊งไบรตอนนิวเคลียร์แมกเนติกเรโซแนซของ  
กรด 3 $\alpha$ , 15 $\beta$ -DHC

จากการศึกษาโครงสร้างทางเคมีของอนุพันธุ์กรดลิโทโคคลิกที่ผลิตโดย  
เชื้อรา Absidia sp. BA16 โดยการวิเคราะห์ทางเคมีตั้งกล่าวแล้วสามารถ  
สรุปได้ว่าอนุพันธุ์กรดลิโทโคคลิกนี้มีสูตรทางสร้างทางเคมีเป็น กรด 3 $\alpha$ ,  
15 $\beta$ -DHC ซึ่งเป็นกรดชนิดเดียวกันกับกรดน้ำดื่มที่มีรายงานเป็นครั้งแรกเมื่อปี  
ค.ศ. 1982 โดยเชื้อรา Cunninghamella blakesleeana ST-22 (11)

การวิจัยนี้จึงเป็นการศึกษาการผลิตกรด 3 $\alpha$ , 15 $\beta$ -DHC ซึ่งเป็น<sup>ชื่อ</sup>  
ผลิตภัณฑ์ที่เกิดจากการเติมหมู่ไยดรอฟิลเข้าหือะตอนของคาร์บอนตัวแทนที่ 15  
ของกรดลิโทโคคลิก โดยเชื้อรา Absidia sp. BA16 ปฏิกริยาที่เกิดขึ้นเรียกว่า  
บัญกริยาการเติมหมู่ไยดรอฟิล (Hydroxylation) ดังแสดงในรูปที่ 27



กรด 3 แอลฟ่า 5 เบตา-โคเลนิค                          กรด 3 แอลฟ่า 15 เบตา-ไไซดรอกซี่  
5 เบตา-โคเลนิค

รูปที่ 27 การเปลี่ยนรูปกรด 3 แอลฟ่า 5 เบตา-โคเลนิค เป็นกรด  
3 แอลฟ่า 15 เบตา-ไไซดรอกซี่ 5 เบตา-โคเลนิค

